

船体剛性を考慮した波浪中の船体運動の理論  
に関する 視書 (前進速度のない場合)

号戸正和

内容

序言

1. 速度ボテンシャルの Fourier 変換
2. ストリップ法と力および相互反対原理
3. 運動方程式と変分法
4. ブリード数による解の表示、
5. 相似見りと逐次近似解法
6. 変分問題の変換

参考文献

参考文献

手稿 簡單な計算例

1. 逐次近似法
2. 解析解

附圖 一葉

昭和 46 年 3 月

防衛大学校

機械科

## 序論

船が巨大な車子につれてその剛性は相対的に低下していふようである。このような船が波の中を航行している時は船体が蛇のようになねうねと曲がるのをねむかると言ふのである。

この講義においては船が彈性的に横力を考慮した場合の船の運動および船体の横の計算法について考察を試みた。

簡単の爲めに前進速度がない場合で且つ船速波中の運動は常に直線運動を進めだが、他の場合船速があるのに大きな困難はないであろう。

この場合ストリップ法を用ひれば"容易に運動方程式が得られ了けれども得られた方程式が非線形型(準線形型)"であつて"この解法は必ずしも容易でない"。そこで今回はハミルトンの原理から直接運動方程式を導く方法を試みた。この方法によれば"変分法によつて解はるので近似計算は便利"であろう。

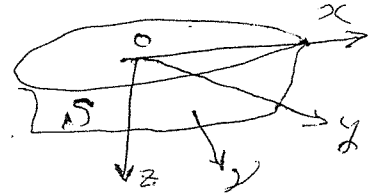
又ハスキニトの関係を利用して発散波のインペルス応答から規則波中の船体応答を求めた式を導いて見た。前進速度のある場合はこの式は少く問題があるが、従事にやづるが原理的には同様な式が得られるはずである。

1. 速度ポテンシャルとフーリエ変換<sup>(1) (2) (7)</sup>

右図のように座標系をとる。

線型近似<sup>(1) (2) (7)</sup>圧力は

$$\frac{1}{\rho} p(x, y, z, t) = \phi_t(x, y, z, t) + f z, \quad (1)$$



水面条件は

$$\phi_t |_{z=0} = - g s(x, y), \quad (2)$$

$$\dot{\phi}_t = - \phi_z |_{z=0}, \quad (3)$$

$$\ddot{\phi}_t - f \phi_z = 0 \quad \text{on } z=0 \quad (4)$$

$\therefore$  (2)  $\phi$  は速度ポテンシャル,  $f$  は水面変位とする。

物体の表面条件は  $x$  を外向法線とて

$$\phi_x = - \sum_{j=1}^3 u_j(x, y, z, t) \chi_{j\nu}, \quad \text{on } S \quad (5)$$

但し  $x_1 \equiv x$ ,  $x_2 \equiv y$ ,  $x_3 \equiv z$ ,  $u_j$  は各方向の上り成分速度とする。  
(は形を変えて)

今はストリップ法的に考えて船の各断面の上下動のみを考え、境界条件として次式とする。

$$\phi_x = - \dot{s}(x, t) z_\nu, \quad \dots \quad (5')$$

$\therefore$  (2)  $\dot{s}(x, t)$  は、船の中性軸の上下動の速度とする。

一般的に考えて  $t=0$  まで  $\phi = \phi_t = 0$  であるとしてこれらのフーリエ変換を求めてみよう。

$$\mathcal{L} \phi = \int_0^\infty \phi(x, y, z; t) e^{-i \omega t} dt = \Phi(x, y, z; \omega) = \overline{\Phi(x, y, z; -\omega)}$$

$$\text{逆変換は } \phi = \frac{1}{2\pi} \int_{-\infty}^{\infty} \Phi e^{i \omega t} d\omega = \Phi(x, y, z; t) \quad (6)$$

∴ F.3 (2) 定義しておこう。

$$\begin{aligned} \mathcal{L} \phi_t &= i\omega \bar{\Phi} \\ \mathcal{L} \phi_{tt} &= -\omega^2 \bar{\Phi} \\ \mathcal{L} P = P \mathcal{L} \phi_t &= P i\omega \bar{\Phi} \end{aligned} \quad \left. \right\} \quad (6')$$

但しこの  $P$  は静止を除く運動のみ

$$\begin{aligned} \mathcal{L} \zeta &= Z(x, \omega) \\ \mathcal{L} \dot{\zeta} &= -\zeta(x, 0) + i\omega Z(x, \omega) \\ \mathcal{L} \ddot{\zeta} &= -i\omega \zeta(x, 0) - \omega^2 Z \end{aligned} \quad \left. \right\} \quad (7).$$

但し  $\zeta(x, 0) = 0$  とする。

水面条件は  $\frac{\omega^2}{g} \bar{\Phi}(x, y, 0, \omega) + \bar{\Psi}(x, y, 0, \omega) = 0 \quad (8)$

今  $\mathcal{L} u_j = U_j(x, y, z; \omega) \quad , \quad \dots \quad (9)$   
とおき

$$\bar{\Phi}_j|_{ons} = \mathcal{L} \phi_j = - \sum_{j=1}^3 U_j x_{j\nu}, \quad \dots \quad (10).$$

ここで “ $\zeta = \mathcal{L} \zeta$ ” (5') を採用するのを意味するように  $\zeta$  の定義を修正する。

$$\bar{\Psi}|_{ons} = -Z(x, \omega) \bar{\zeta}_{\nu}, \quad \dots \quad (10')$$

ここで  $Z = \mathcal{L} \zeta$  を意味するものとする。

この場合散乱域においてホーテンセヤルは 1 1 マニ函数  $N$  を使って  $\zeta$  のように表示出来る。

$$\bar{\Psi}(P) = - \iint_S \bar{\Phi}_j(Q) N(P, Q) dS(Q), \quad \dots \quad (11)$$

但し  $P \equiv (x, y, z)$ ,  $Q \equiv (x', y', z')$ .

$N$  は遠方で次の漸近値を持つ。

$$N(P, Q) \xrightarrow[P \rightarrow \infty]{} \sqrt{\frac{K}{2\pi\rho_i}} e^{-Kz - iK\rho} \bar{\Phi}_D(Q, \varphi) + \dots \quad (12)$$

ここで  $x = P \cos \varphi$ ,  $y = P \sin \varphi$

$$\bar{\Phi}_D(Q, \varphi) = \bar{\Phi}_e(Q, \varphi) + \bar{\Phi}_d(Q, \varphi) \quad \left. \right\} \quad (13)$$

$$\bar{\Phi}_e(Q, \varphi) = \exp[-Kz' + iK(x' \cos \varphi + y' \sin \varphi)] \quad \left. \right\} \quad (14)$$

$$\bar{\Phi}_D|_S = 0, \quad K = \omega^2/g$$

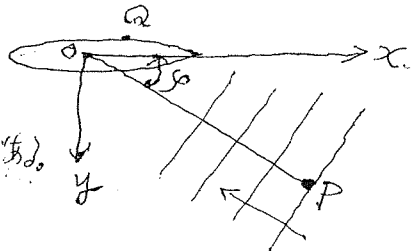
又  $\bar{\Psi}(-\omega) = \overline{\Psi(\omega)}$  である。

(14) 式の  $\bar{\Psi}_e$  は右図のように  $x$  軸と  $y$  軸の角をなして打寄せて来る入射波である。

又 (12) 式は原点から出て行く内局波である。

(12) 式を (11) 式に代入すると、

$$\bar{\Psi}(P) \xrightarrow{P \rightarrow \infty} \sqrt{\frac{K}{2\pi\rho_i}} e^{-Kz - iKp} D(K, \varphi), \quad \dots (15)$$



$$D(K, \varphi) = - \int_S \bar{\Psi}_D(Q, \varphi) \bar{\Psi}_e(Q) dS(Q), \quad \dots (16)$$

この  $D$  を使って “波高”  $\Sigma_w$  は

$$\Sigma_w = \frac{\omega}{gi} \bar{\Psi} \Big|_{z=0} \rightarrow \frac{\omega^2}{i\sqrt{2\pi\rho g i}} e^{-iKp} D(K, \varphi), \quad \dots (17)$$

物理面  $\Sigma_w$

$$\begin{aligned} \Sigma_w(P, \varphi) &= \frac{1}{2\pi} \int_{-\infty}^{\infty} \Sigma_w e^{i\omega t} d\omega = \frac{\text{Re}}{\pi} \int_0^{\infty} \Sigma_w e^{i\omega t} d\omega \\ &= \text{Re} \frac{1}{\pi g i \sqrt{2\pi\rho g i}} \int_0^{\infty} e^{-iKp + i\omega t} D(K, \varphi) \omega^2 d\omega, \end{aligned} \quad (18)$$

近似的  
これは フレネル 積分で表示出来るから 定常近似で  
次のよう 準 近似値がある。

$$\Sigma_w(P, \varphi) \xrightarrow[\frac{gt^2}{4\rho} \gg 1]{\frac{gt^2}{4\rho}} \text{Re} \left[ \frac{9t^2}{8\pi\rho^3 i^3} e^{\frac{i\pi}{4}} D\left(\frac{gt^2}{4\rho}, \varphi\right) \right], \quad (19)$$

2. ストライフ法と力の作用不自反定理 (1) (2)

各断面(变形しないとして)に働く下向きの水の力は、  
静水圧を除いて。

$$f(x) = - \int_C P z_v ds(x) = - P \int_C \bar{P}_T z_v ds, \quad \dots (1)$$

$$df = \bar{F}(x, \omega) = - P i \omega \int_C \bar{P}_T z_v ds, \quad \dots (2)$$

strip method

$$\left( \frac{\partial^2}{\partial y^2} + \frac{\partial^2}{\partial z^2} \right) \bar{P} = 0, \quad \dots (3)$$

とて 2 次元問題の解を利用する (1), (2) と 不自反定理  
を用いて。

$$\bar{F}(x) = P i \omega \int_C \bar{P}_T \bar{P}_v ds = - P i \omega \sum \int_C \bar{P}_T z_v ds$$

$$= - P i \omega Z(x) C_o(x) \quad \dots (4)$$

$$C_o(x) = \int_C \bar{P}_T z_v ds, \quad \dots (5)$$

ここで suffix T は 2 次元  $\bar{T}$  の意味を意味する。

$$\bar{P}_{T(x)} = - z_v$$

とする。

この力については 入射波の波高を立のようにおくと

$$\zeta_I(x, y, \alpha, t) = \frac{1}{2\pi} \int_{-\infty}^{\infty} A(\omega) e^{iK\bar{\omega}(\alpha) + i\omega t} d\omega$$

$$\bar{\omega}(\alpha) = x \cos \alpha + y \sin \alpha, \quad K = \omega / g, \quad \dots (6)$$

$$\bar{A}(\omega) = A(-\omega)$$

$$\mathcal{L} \zeta_I = Z_I(x, y, \alpha, \omega) = A(\omega) e^{iK\bar{\omega}(\alpha)} \quad \dots (7)$$

$$\text{と 2 次元不自反定理は } \phi_I = \frac{i\gamma}{2\pi} \int_{-\infty}^{\infty} A(\omega) e^{-iK\bar{\omega} + iK\bar{\omega}(\alpha) + i\omega t} d\omega \quad \dots (8)$$

$$\mathcal{L} \phi_I = \bar{P}_I = \frac{i\gamma}{\omega} A(\omega) \bar{P}_I(x, y, \alpha) \quad \dots (9)$$

$\bar{\Phi}_e$  は (1.14) で与えられる。

つまりこれは  $\alpha$  方向から来る平面波の集まりである。

この入射波に対する船の反射波のポテンシャルを  $\bar{\Phi}_d$  とすると合せてポテンシャルは次のようになる。

$$\begin{aligned}\bar{\Phi}_w &= \underbrace{\bar{\Phi}_D(x, y, z)}_{\bar{\Phi}_d = \bar{\Phi}_e + \bar{\Phi}_d} \\ \bar{\Phi}_D &= \bar{\Phi}_e + \bar{\Phi}_d\end{aligned}\quad \left. \right\} \quad (8)$$

以上の式は (以下各方向の式も参考) (1.14)

$$\begin{aligned}f_w(x, z) &= -\rho \int_C \phi_{wt} z_2 ds \\ F_w(x, \omega) &= -\rho i \omega \int_C \bar{\Phi}_w z_2 ds\end{aligned}\quad \left. \right\} \quad (9)$$

(8) 12.5.2

$$\begin{aligned}F_w &= \rho g A(\omega) \int_C \bar{\Phi}_D(x, y, z) z_2 ds \\ &= \rho g A(\omega) D(x, z), \quad \cdots \quad (10)\end{aligned}$$

12.5.2

$$\begin{aligned}D(x, z) &= \int_C \bar{\Phi}_D(x, y, z) z_2 ds \\ &= - \int_C \bar{\Phi}_D \bar{\Phi}_{oy} ds, \quad \cdots \quad (11)\end{aligned}$$

但し  $\bar{\Phi}_{oy} \approx z_2$

以下で  $D$  の  $K$  の小さい部分における近似値を strip 法で求めて見よう。

(11) 式中  $\bar{\Phi}_D$  の内の  $\bar{\Phi}_e$  については明らかに (8) 式が成立する。しかし  $\bar{\Phi}_d$  については strip 法で求めても不自然ではながう。さうすると

$$\begin{aligned}\int_C \bar{\Phi}_d \bar{\Phi}_{oy} ds &\doteq \int_C \bar{\Phi}_{T_d} \bar{\Phi}_{T oy} ds = \int_C \bar{\Phi}_{T e} \bar{\Phi}_{T dy} ds \\ &\doteq - \int_C \bar{\Phi}_{T e} \bar{\Phi}_{oy} ds, \quad \cdots \quad (12)\end{aligned}$$

$$\bar{\Phi}_{\text{dis}} = -\bar{\Phi}_{\text{ev}} \doteq -\bar{\Phi}_e(x, y, \alpha) [-(k|z_2 + ik y_{\text{mid}} + \dots)]$$

$k \rightarrow 0$   
 $x_2 \rightarrow 0$

であるから

$$\begin{aligned} D(x, \alpha) &\doteq \int_C (\bar{\Phi}_e z_2 + \bar{\Phi}_{T_0} \bar{\Phi}_{\text{ev}}) ds \\ &\doteq \int_C [z_2 - \bar{\Phi}_{T_0} (k|z_2)] \bar{\Phi}_e ds, \quad \dots \quad (13) \end{aligned}$$

がえられる。

この右边第一項は法邊理論では、

$$\int_C \bar{\Phi}_{T_0} z_2 \bar{\Phi}_e ds = x_w C_0(x) e^{ikx \cos \alpha}, \quad \dots \quad (14)$$

と近似しておき、 $K$ の小さいときに $\bar{\Phi}_e$ を $\bar{\Phi}_e^0$ で置く。

$$x_w = \int_C \bar{\Phi}_{T_0} z_2 (1 - ikz) ds$$

となるから

$$x_w = 1 - \frac{|k|}{C_0(x)} \int_C \bar{\Phi}_{T_0} z z_2 ds, \quad \dots \quad (15).$$

となる。

この $x_w$ を俗に底辺の修正係数と呼んでおこう。

(13) 右辺第二項はフルード・クリッソフカ<sup>2</sup>によって、  
(14) などしてスニス修正  $\gamma_s$  を使って

$$\int_C z_2 \bar{\Phi}_e ds = \gamma_s B(x) e^{ikx \cos \alpha}, \quad \dots \quad (16)$$

$B$ は船の半面積とする。

と書かせるとから もはり  $K$ の小さいときに

$$\gamma_s \doteq 1 - |k| \frac{A(x)}{B(x)}, \quad \dots \quad (17)$$

$A(x)$ は横切面積とする。

(14) と (16) を合せて (13) は次のようになくなる。

$$D(x, \alpha) \doteq \gamma_w B(x) e^{ikx \cos \alpha}, \quad \dots \quad (18)$$

$$\text{但し } \gamma_m = \gamma_s - |K| \gamma_w \frac{C_0(x)}{B(x)}$$

$$\underset{K \rightarrow 0}{\approx} 1 - |K| \left[ \frac{A(x) + \gamma_w C_0(x)}{B(x)} \right], \quad \dots \quad (19)$$

となる。~~この~~ この係数を元の考案<sup>3)</sup>に因んで元の修正係数と呼ぶことしよう。

以上は近似計算であるが、もし実際のオーテニシヤルが既にわかっているとする。上のようす意義論義になら。

まず相反対面は

$$\iint_S \bar{\Psi}_i \bar{\Psi}_{j\nu} ds = \iint_S \bar{\Psi}_j \bar{\Psi}_{i\nu} ds \quad (20)$$

である。今  $\bar{\Psi}_{j\nu} = -Z_j(3) z_\nu$ ,  $\dots \quad (21)$

(満塁の場合はやはり横断面は変形せず) 2方向の変位を並べてとすると、このようす意義論義になら。

この時力は船が変形しない場合のように單純ではない。次のようす一般化したものを見るねばならぬ。

つまり  $F_j = \int H(3) Z_j(3) d3$ ,  $\dots \quad (22)$ .

各断面に働く力  $H(3)$  が与えられるようす) を  $Z_j$  なる重みをつけた力の重平均を考える。従って特に  $Z_j = 1$  は 2 方向の力であり  $Z_j = 3$  はモーメントとなる。

さて (20), (21) を使えば

$$F_j = -\rho i \omega \iint_S \bar{\Psi}_i Z_j z_\nu ds = \rho i \omega \iint_S \bar{\Psi}_j \bar{\Psi}_i z_\nu ds$$

$$= -\rho i \omega \sum_k C_{jk} \quad , \quad \dots \quad (23)$$

但し  $C_{jk} = C_{kj} = \iint_S \bar{\Psi}_j Z_k z_\nu ds$

$$\bar{\Psi}_j = - \sum_k Z_k z_\nu \quad , \quad \quad \quad (24)$$

又は  $\alpha$  に対する  $\omega$  と  $A(\omega)$  の定義によるのは

$$\begin{aligned} F_{\omega j} &= \rho g A(\omega) \iint_S \bar{\Phi}_D Z_j z_\nu dS \\ &= \rho g A(\omega) D_j(\alpha) \quad , \quad \dots \quad (25) \end{aligned}$$

但し

$$\begin{aligned} D_j(\alpha) &= - \iint_S \bar{\Phi}_D(\alpha) \bar{\Phi}_{j\nu} dS \\ &= \iint_S (\bar{\Phi}_j \bar{\Phi}_{e\nu} - \bar{\Phi}_e \bar{\Phi}_{j\nu}) dS \quad , \quad \dots \quad (26) \end{aligned}$$

(1.17) より  $\bar{\Phi}_j$  は  $\omega$  で決まる函数

$$Z_{\omega j} \rightarrow \frac{k}{i\sqrt{\sum \rho g_i}} e^{-K_p^j} D_j(\alpha) \quad , \quad \dots \quad (27)$$

これが Haskind の関係式である。

3. 運動方程式<sup>1)</sup>

ハミルトンの変分原理によれば"運動 ~~方程式~~"は  
次のようにならね。

$$\delta \int_0^t (T - V - S) dt = \delta \int_0^t W dt, \quad \dots \quad (1)$$

ただし  $T$  : 全系の運動エネルギー —

$V$  : " 位置エネルギー "

$S$  : " 势エネルギー "

$W$  : 外力のたす仕事

今の場合、船の運動のみ考えて、船の上下の位置  $S(x, t)$   
として

$w(x)$  : 重量分布

$B(x)$  : 水線面積

$A(x)$  : 不規則面積

とすると船体については

$$T_B = \frac{1}{2} \int w(x) \dot{S}^2(x, t) dx, \quad \dots \quad (2)$$

$$V_B = - \int w(x) S(x, t) dx, \quad (3)$$

$$S = \frac{1}{2} \int E I(x) \dot{S}_{xx}^2(x, t) dx, \quad \dots \quad (4)$$

$E$  は船体材料のヤング率,  $I(x)$  は断面 2 次モーメントとする。

この他に水の Lagrangean  $L_w$  を加えねばならぬ。

$$T - V = T_B - V_B + L_w, \quad \dots \quad (5)$$

とおくと

$$L_w = \iiint p dx dy dz = \rho \iiint (\phi_t - \frac{1}{2} g^2 + gz) dx dy dz, \quad (6)$$

を表される。

先ず"青岸水圧"に當する部分は、船体  $S$  の平衡位置を  $\bar{z}_0(x, y)$  とおくと、そのオフセットは

$$z(x, y) = z_0(x, y) + S(x, t)$$

であるから

$$\begin{aligned}
 \rho g \iiint z \, dx \, dy \, dz &= -\frac{\rho g}{2} \iint_S z^2 \, dx \, dy - \frac{\rho g}{2} \iint_{\bar{H}} \bar{z}^2 \, dx \, dy \\
 &= -\frac{\rho g}{2} \iint_S (z_0^2 + 2z_0 \bar{z} + \bar{z}^2) \, dx \, dy - \frac{\rho g}{2} \iint_{\bar{H}} \bar{z}^2 \, dx \, dy \\
 &= -\frac{\rho g}{2} \iint_S z_0^2 \, dx \, dy + \rho g \int A(x) \bar{z}(x, t) \, dx + -\frac{\rho g}{2} \int B(x) \bar{z}^2(x, t) \, dx \\
 &\quad - \frac{\rho g}{2} \iint_{\bar{H}} \bar{z}^2 \, dx \, dy, \quad \cdots \cdots \cdots \text{(7)}
 \end{aligned}$$

ここで  $\bar{H}$  は自由表面とし  $\bar{H}$  は船の水密面とする。

又

$$\iiint \phi_t \, dx \, dy \, dz = \frac{d}{dt} \iiint \phi \, dx \, dy \, dz - \iint \phi \phi_z \, ds - \iint \phi_z \phi \, dx \, dy$$

であるから、今

$$V_s = \rho g \int A(x) \bar{z}(x, t) \, dx + \frac{\rho g}{2} \int B(x) \bar{z}^2(x, t) \, dx, \quad \cdots \text{(8)}$$

式(7)の右辺の定数項は、零係なつので除して考え本に  
あると ( $\phi$  の水面条件を緩め)

$$L_{WD} = L_w + V_s = \rho \frac{d}{dt} \iiint \phi \, dx \, dy \, dz - \frac{\rho}{2} \iint_S \phi \phi_z \, ds$$

∴

$$-\frac{1}{2} \frac{d}{dt} \iint_{\bar{H}} \phi \phi_z \, dx \, dy, \quad \cdots \cdots \text{(9)}$$

が得られる。

従って運動の始めと終りに  $\phi$  or  $\phi_t = 0$  となるとすれば

$$\int_{t_0}^t L_{WD} \, dt = -\frac{\rho}{2} \int_{t_0}^t \iint_S \phi \phi_z \, ds, \quad \cdots \cdots \text{(10)}$$

となって、 $S$  上の積分の次が決まる。

外力の取扱いは、これを  $q(x)$  とおくと

$$W = \int q(x) \bar{z}(x, t) \, dx, \quad \cdots \cdots \text{(11)}$$

これらを(1)に代入して  $\zeta_{12 \rightarrow 12}$  变分をとると運動方程式  
がえられる次である。  $L_{WD}$  の变分は少々面倒であるが  
このようになる。

また

$$\int_{t_0}^t \left[ \iint_S \phi \delta \phi_z \, ds - \iint_S \phi_z \delta \phi \, ds \right] = 0$$

であるので  $\phi$  の境界条件 (1.5') から

$$\begin{aligned} \delta \int L_{WD} dt &= -P \int dt \iint_S \phi \delta \psi_d ds = g \int dt \iint_S \phi \delta \zeta z_v ds \\ &= -g \int dt \iint_S \phi_x \delta \zeta z_v ds = \int dt \int f(x,t) \delta \zeta(x,t) dx \end{aligned}$$

$\therefore f$  は (2.1) による運動に従事するのである。

他の変分は容易にまとめて次の方程式が得られる。

$$\begin{aligned} \frac{w(x)}{g} \ddot{\zeta}(x,t) + M_{xx}(x,t) + \gamma B(x) \zeta(x,t) + f(x,t) \\ = \gamma A(x) - w(x) + g(x,t), \quad \dots (12) \end{aligned}$$

$$m(x,t) = EI(x) \zeta_{xx}(x,t)$$

で、曲げモーメントは零とし、両端で  $m = m' = 0$  とする。

上式において  $\gamma A, w$  は時間による値をもつから以後

$$\zeta(x,t) = \zeta_D(x,t) + \zeta_s(x,t)$$

$$[EI(x) \zeta_{xx}(x)]_{xx} + \gamma B(x) \zeta_s(x) = \gamma A(x) - w(x), \quad (13)$$

のような静的な荷重  $\zeta_s$  を差引いて  $\zeta_D$  のみを考えることにする。

つまり (12) を

$$\frac{w(x)}{g} \ddot{\zeta}(x,t) + M_{xx}(x,t) + \gamma B(x) \zeta(x,t) + f(x,t) = g(x,t) \quad \dots (14)$$

と簡略化した方程式で考えるとしてある。

これをフーリエ変換すると

$$\begin{aligned} \frac{w(x)}{g} \dot{\zeta}(x,\omega) + M_{xx}(x,\omega) + \gamma B(x) \zeta(x,\omega) - P(\omega) C_0(x,\omega) \dot{\zeta}(x,\omega) \\ = Q(x,\omega), \quad (15) \end{aligned}$$

特に初期条件が 0 ならば

$$[-\omega^2 \left\{ \frac{w(x)}{g} + P C_0(x) \right\} + \gamma B(x)] \zeta(x,\omega) + M_{xx}(x,\omega) = Q(x,\omega) \quad \dots (16)$$

となりストリックラボルの参考文献と全く同じ結果が得られる。

△ 簡單の為に上式を

$$\therefore \ddot{Z}(x, \omega) = Q(x, \omega)$$

と書く事にしよう。

$$\therefore L = -\frac{\omega^2}{J} \left\{ Z_0(x) + P_0 C_0(x) \right\} + \gamma B(x) + \frac{d^2}{dx^2} \left\{ EI(x) \frac{d^2 Z}{dx^2} \right\}, \quad \cdots (17)$$

天風則に途中の応答は (2.10) とまつり

$$\therefore Z(x, \omega) = P_0 A(\omega) D(x, \alpha), \quad \cdots \quad (18)$$

となる。

又 イムヘルス 外々

$$f(x, t) = \delta(t) \delta(x-3), \quad \cdots \quad (19)$$

とすると

$$Q(x, \omega) = \delta(x-3)$$

であるから

$$\therefore Z(x, \omega) = \delta(x-3), \quad \cdots \quad (20)$$

最後に  $\alpha=0$  の範囲内にある方をかけて  $Z(x, \omega)$  を変形させておいてそれを急に離す場合を考えると (15) 式 ~~を~~ において

$$\dot{Z} = i\omega Z - S(x, \omega)$$

$$\ddot{Z} = -\omega^2 Z - i\omega S(x, \omega)$$

$$S = 0$$

であるから

$$\therefore \ddot{Z}(x, \omega) = i\omega \left\{ \frac{Z_0(x)}{J} + P_0 C_0(x) \right\} S(x, \omega), \quad (21)$$

等の運動方程式が得られる。

これらの方程式は一般には準線型であるので常係数の場合のように簡単には解けないし、又その曲げの問題ではあつて複雑であり、変分法を用いた近似解法の方が実用的である。

従つて 3.4 えれば

$$\begin{aligned} S(x, t) &= \sum_j A_j(t) Z_j(x) \\ Z(x, \omega) &= \sum_j A_j(\omega) Z_j(x) \end{aligned} \quad \left\{ \quad (22) \right.$$

のようになつてその変分原理によつて  $A_j$  を決める事である。

このようす問題では普通固有値応答だけが必要なものであり

上述のまゝの変分原理は不便である。

因ひは微分領域では 变分原理は次のようになつて簡単となる。

$$I = \int \left[ -\frac{\omega^2}{2} \left\{ \frac{\partial^2 u(x)}{\partial x^2} + \rho C_0(x, \omega) \right\} + B(x) \right] Z(x, \omega) + \frac{M(x, \omega)}{2EI(x)} dx \quad \dots (23)$$

$$W = \int Q(x, \omega) Z(x, \omega) dx, \quad \dots \quad (24)$$

から

$$\delta I = \delta W, \quad \dots \quad (25)$$

とすればよい。これから (25) 式がえらぶる事は明らかである。

左の (25) 式の両邊に  $\sum$  をかけて  $x$  について積分し、その

$$-\rho C_0 \sum \int C_0(x, \omega) |Z(x, \omega)|^2 dx = \int Q(x, \omega) \overline{Z(x, \omega)} dx. \quad (26)$$

となるからこれは外力のたす仕事を筋体の動きによつて生ずる  
波のエネルギー——となつて消費される事を示している。

4. ブリーニ函数と解の表示<sup>4)</sup>

(3.20) の解をブリーニ函数<sup>4)</sup>と呼ぶ事にしよう。

即ち

$$L G(x, \bar{x}) = f(x-\bar{x}), \quad \dots \quad (1)$$

又

$$L g(x, \bar{x}) = f(x-\bar{x}), \quad \dots \quad (2)$$

$$L \equiv \gamma B(x) + \frac{d^2}{dx^2} \left\{ E I(x) \frac{d^2}{dx^2} \right\}, \quad \dots \quad (3)$$

の解  $f(x, \bar{x})$  は 静的的 単位荷重による influence function つまり ブリーニ函数である。

Let  $\ell$  を 自己隨伴 形式であるから 次の相反性がある。

$$f(x, \bar{x}) = \bar{f}(\bar{x}, x), \quad G(x, \bar{x}) = \bar{G}(\bar{x}, x), \quad \dots \quad (4)$$

又

$$\int [\zeta(\bar{x}) L g(x, \bar{x}) - f(x, \bar{x}) L \zeta(\bar{x})] d\bar{x} = 0. \quad \left. \begin{array}{l} \\ \end{array} \right\} (4')$$

$$\int [\zeta(\bar{x}) L \bar{G}(x, \bar{x}) - \bar{G}(\bar{x}, x) L \zeta(\bar{x})] d\bar{x} = 0.$$

これらの函数を使えば 前節の解は 次のように書かせる。

(3.13) の解は

$$\zeta_s(x) = -\gamma \int \left\{ \frac{w(\bar{x})}{g} - A(\bar{x}) \right\} f(x, \bar{x}) d\bar{x}, \quad \dots \quad (5)$$

(3.18) の解を  $Z^w$  と定め

$$Z^w(x) = \rho g A(\omega) \int D(\bar{x}, x) G(x, \bar{x}) d\bar{x}, \quad \dots \quad (6)$$

(3.21) の解を  $Z^f$  と定め

$$Z^f(x) = i \omega \int \left\{ \frac{w(\bar{x})}{g} + \int C_0(\bar{x}) \right\} \zeta(\bar{x}, 0) G(x, \bar{x}) d\bar{x}, \quad (7)$$

↑  $\zeta(\bar{x}, 0)$  が  $\bar{x}'$  点における 単位荷重によるものとすれば  
↑  $\zeta(\bar{x}, 0)$

$$\ell \zeta(\bar{x}, 0) = \delta(\bar{x} - \bar{x}'), \quad \zeta(\bar{x}, 0) = f(\bar{x}, \bar{x}'), \quad (8)$$

$$L - \ell = -i \omega \left\{ \frac{w(\bar{x})}{g} + f C_0(\bar{x}) \right\}, \quad (9)$$

であるから (7) は

$$\zeta^\delta(x) = \frac{1}{i\omega} \int [G(x, \bar{z}) L \zeta(\bar{z}, 0) - G(x, \bar{z}) \ell \zeta(\bar{z}, 0)] d\bar{z}$$

と仮定する

$$\int G(x, \bar{z}) L \zeta(\bar{z}, 0) d\bar{z} = \int S(\bar{z}, 0) L G d\bar{z} = \zeta(x, 0) = f(x, \bar{z}')$$

$$\int G \ell \zeta d\bar{z} = G(x, \bar{z}')$$

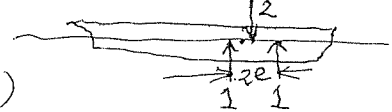
また

$$\begin{aligned} Z^\delta(x) &= \frac{1}{i\omega} [f(x, \bar{z}') - G(x, \bar{z}')] \\ \zeta^\delta(x) &= i\omega Z^\delta - \zeta(x, 0) = -G(x, \bar{z}') \end{aligned} \quad \left. \right\} (10)$$

又右側の  $\zeta(x, \bar{z}')$  の近似でモーメントをかけて高生すとすると  
上式で

$$Z^m(x) = e^2 G_{\bar{z}'\bar{z}'}(x, \bar{z}'), \quad (11)$$

$$e \rightarrow 0$$



(10), (11) の Kotchin 面積は

$$D^\delta(x) = - \iint_S \bar{\Phi}_D(x, \alpha) z_{2\bar{z}'} G(x, \bar{z}') dS(x) \quad \left. \right\} (12)$$

$$D^m(x) = e^2 \iint_D \bar{\Phi}_D(x, \alpha) z_{2\bar{z}'} G(x, \bar{z}') dS(x)$$

(2.11) に代入すれば

$$D^\delta(x) = - \int D(x, \alpha) G(x, \bar{z}') dx \quad \left. \right\} (12)$$

$$D^m(x) = e^2 \int D(x, \alpha) G_{\bar{z}'\bar{z}'}(x, \bar{z}') dx$$

と書けばから (6) 式と較べて

$$D^\delta(x) = - \frac{\sum^w(\bar{z}')}{PQA(\omega)} \quad \left. \right\} (13)$$

$$D^m(x) = \frac{e^2}{PQA(\omega)} \sum^w_{\bar{z}'\bar{z}'}(\bar{z}')$$

これを (1.17) と較べるとこの工具会  $\times$  方向へ出て行くのは高生する  
 $\times$  方向から来反対によると同じ数応答に比例している事がわかる。

## 5. 相似則<sup>(\*)</sup>と逐次近似解法

相似則は中の運動方程式について相似則<sup>(3.16)</sup>である。

(3.18)を書き下すと

$$-\omega^2 \left\{ \frac{w(x)}{g} + \rho C_0(x) \right\} Z(x) + \frac{d^2}{dx^2} \left[ EI(x) \frac{d^2 Z}{dx^2} \right] + \sigma B(x) Z(x) = \rho g A(\omega) D(x, \alpha), \quad (1)$$

であるから、普通に行われてゐるところに相似模型についての差  
と違ひの点

$$KL = L \frac{\omega^2}{g} = 2\pi L/\alpha, \quad (2)$$

を等しくし又えとのは高[A dw]の上に等しくして式書きを  
行なうとして、これが相似にならぬには (1) ~~の~~ 次の  
ように書きかえて見ると。

$$\left[ KL \left\{ \frac{w(L^3) + \rho g C_0(L^3)}{W/L} \right\} + \frac{EI_0}{WL^2} \frac{d^2}{dx^2} \left( \frac{EI(x)}{EI_0} \frac{d^2 Z}{dx^2} \right) + \frac{\sigma B(L^3) L^2}{W} \right] Z(L^3) = \frac{\sigma A(\omega) L^2}{W} D(L^3, \alpha),$$

ここで  $W$  : 排水量,  $I_0$  は  $\otimes$  の  $I(x)$ 。  $\cdots (3)$

となるから今

$$\frac{WL^2}{EI_0} = \epsilon, \quad (4)$$

が同じならば運動はすべて相似になら。

(1)は又運動の如何に拘らず梁としての船の変位の  
平衡方程式でもあるから ~~の~~ これが等しいれば (3.13) に  
より

$$S_s \propto \epsilon L, \quad (5)$$

であり、又上下揺れ振動数を  $f$  とすると

$$f \propto \omega \propto \sqrt{\frac{EI_0}{WL^3}} = \sqrt{\frac{g}{\epsilon L}}, \quad (6)$$

および

$$\frac{f^2 L}{g} \propto \frac{1}{\sqrt{\epsilon}}, \quad (6')$$

となって綱強度、振動の上でも相似にならう。

普通は両端の拘束の影響は小さくと考えられるので

(1) 式を解くに至り

$$\Sigma(x) = Z_0 + \alpha x + \sum_{n=1}^{\infty} \varepsilon^n Z_n(x), \quad \dots (7)$$

式(3)を左端の拘束条件から出発して解くとしよう。

これが(1)式を代入して得たorderの項を equate すると

$$\varepsilon \frac{d^2}{dx^2} EI(x) \frac{d^2}{dx^2} Z_1 = [\omega^2 \left\{ \frac{w}{f} + \rho C_0 \right\} - \sigma B] [Z_0 + \alpha x] + \sigma A D(x, x), \quad \dots (8)$$

$$\varepsilon \frac{d^2}{dx^2} EI(x) \frac{d^2}{dx^2} Z_{n+1} = [\omega^2 \left\{ \frac{w}{f} + \rho C_0 \right\} - \sigma B] Z_n, \text{ for } n \geq 1, \quad (9)$$

が得られる。  $Z_{n+1}(n \geq 1)$  はすべて左端で ~~自由端~~<sup>梁とての自由端</sup> 条件を満たすものとする。

次に(8)式を左端である  $x = 0$  をかけて積分すると左辺は消え

$$\int [-\omega^2 \left\{ \frac{w}{f} + \rho C_0 \right\} + \sigma B] (Z_0 + \alpha x) \left[ \begin{matrix} 1 \\ x \end{matrix} \right] dx = \sigma A \int D(x, x) \left[ \begin{matrix} 1 \\ x \end{matrix} \right] dx, \quad (10)$$

となるがこれは拘束を考慮しない時の運動方程式そのものである。 従つて(8)式の右辺を 2 回積分したものが 従来計算している荷重中の曲げモーメントである。  
この解を代入して

これをさらに 2 回積分して(9)式に代入して 3 回積分すれば 2 位近似の曲げモーメントが出来るのはいかに解法の詳細は 附録にゆづる事にしよう。

## 6. 変分問題の変半定<sup>5)</sup>

今は荷重の外に外力は外力に含めて運動方程式を  
次のように考えておこう。

$$\frac{EI(x)}{g} \zeta_{tt}(x,t) + m_{xx}(x,t) + \gamma B(x) \zeta(x,t) = f(x,t), \quad (1)$$

$$m(x,t) = EI(x) \zeta_{xx}(x,t), \quad (2)$$

一般には  $f$ ,  $m$ ,  $I$  が不連続でありますので  $m$   
~~の~~ の 2 階 微係数は 不連続つまり  $m$  については  
その 1 階 微係数は 連続で区分的で微分可能として計算  
しなければならぬ。これについてもまた 4 階 微係数が存在  
するだけであるのでかなり厳しい制限であり、これについてもまた  
区分的で 2 次曲線で近似する方が望ましいように見える。

このような場合は (1) を変分問題で変換すれば (1) 式  
左辺第 2 項の 4 階 微分を実行しておいたので 数値計算上  
有利であると思われる。

自ら

$$\delta \int I dt = \delta \int W dt, \quad (3)$$

$$I = \int \left[ \frac{W(x)}{2g} \dot{\zeta}^2 - \int \frac{\gamma}{2} B(x) \dot{\zeta}^2 + \frac{m^2}{2EI(x)} \right] dx, \quad (4)$$

$$W = \int f(x,t) \zeta(x,t) dx, \quad (5)$$

また更に  $m$  と  $\zeta$  を独立に変化させるとすれども  
これを変形して(一種の正準変換)

$$I = \int \left[ \frac{W}{2g} \dot{\zeta}^2 + \frac{m^2}{2EI(x)} - \frac{\gamma B}{2} \dot{\zeta}^2 + m_x \zeta_x \right] dx, \quad (6)$$

として書くと (1) と (2) がオイラー方程式と出て来る。

この方法によると  $m$  と  $\zeta$  の微係数が計算出来ればよいので  
許容函数の個数は広くなるが一方 (4) は未知数  
の数は倍になる。

## 結 言

船体の彈性を考慮に入れた場合 従来のストリップ法で運動方程式を求めるのは容易で無いし、又<sup>半</sup>としての船体の曲げの方程式も元々ストリップ法で扱子のでそれで充分であると思われる。

(しかし得られた方程式は一般に常係数でない。4階線型の微分方程式(一般には微積分方程式)であるので 実際上は数値解法によらざるを得ない)。最近の計算機によればこれは困難な問題ではないけれども、これでは彈性学で使う変分法との連繋を示す意味で、ハミルトンの変分原理から運動方程式を説明した。この方法によれば“種々の近似解法を安心して使用出来”し、又手と正確な理論~~論~~や複雑な例えは~~解~~も複雑な問題も变形するような問題を組立てることも容易になる。

又この方法では初期値問題を考えるのも容易で 特に興味のあるのはハスキーの荷締を用いたりすれば“青筋”(骨)における船の動きを従つて出来るだけを解析すれば“見事”(皮膚)の応答がわかる事が最近の船の過渡応答の研究の一助ともなるであろう。

今回は前述速度のない場合を扱かつたが今度見て速度のある場合を考えて見る。

最後に 今回の試論は 駆室の真能容<sup>容</sup>の whipping の研究<sup>6)</sup>を端を発するもので、同教授並びに他の研究室の諸君との一年に亘る熱心な討議<sup>議</sup>から討<sup>議</sup>を重ねた。

以上

参考文献

1. 岩戸正利; "船体運動のインパルス応答理論(=IAT)と  
慣性" 昭和46年1月
2. " " ; Mem. of Defense Academy, vol. 8, No. 1, 1968
3. 元良, 小山; 造船論文集 117号 昭和40年
4. S. モニエンコ; "工業振動力学" 東京図書, 1954
5. 林, 村井著; "変換分法" クロス社 昭和43年発行
6. 庄子義正; "波浪によつておきる振動問題" 防大研究科卒業論文, 昭和46年3月
7. 日本造船学会, 耐航性システム・テキスス. (1969)
8. 末次一誠; 宮西造船論文集 昭和29年10月講堂

## 附録 簡單な計算例 1. 遠次近似法

弾性を考慮に入れるとどうのような事がありうるかの見当をつけたる爲にうんと簡単化した模型を考えて計算を実行して見よ。

剛体の端は一定の角速度を有し構造部材は前後方向に一定の横梁と考えて見よう。

$$I(x') = \text{Const.}, \quad B(x') = \text{Const.}$$

$$w(x) = \rho g A(x) = \rho g B T(x) = \text{Const.}$$

$$C_0(x, \omega) = \text{Const.} \text{ and real} = C B T(x) \approx C B T_m, T_m = T(x)$$

このように仮定すると

$$L \equiv -\rho \omega^2 B T_m (1+c) + \rho g B + EI \frac{d^4}{dx^4}, \quad (1)$$

ほかには  $\rho g A_w(\omega) D(x', 0) = \rho g A_w B \gamma_m e^{ikx'}, \quad \dots \quad (2)$

運動方程式は

$$\left[ \rho g B \{ 1 - K_m (1+c) \} + EI \frac{d^4}{dx^4} \right] \ddot{\zeta}' = \rho g A_w B \gamma_m e^{ikx'}$$

となるが、ここで更に無次元化して

$$\ddot{\zeta}' = A_w \ddot{\zeta}, \quad x' = Lx, \quad K = KL = \omega^2 L/g$$

とおいて上式を整理すると

$$\ddot{\zeta}^{(4)}(x) + \varepsilon A \ddot{\zeta}(x) = \varepsilon B e^{ikx}, \quad \dots \quad (3)$$

境界条件は  $\ddot{\zeta}''(0) = \ddot{\zeta}''(1) = \ddot{\zeta}''(c) = \ddot{\zeta}''(1) = 0, \quad \dots \quad (4)$

$\ddot{\zeta}''$  ある。 $\ddot{\zeta}'''$

$$\varepsilon = WL^2/EI,$$

$$A = \frac{L}{T_m} \left[ 1 - K \frac{T_m}{L} (1+c) \right], \quad \left. \right\} \quad (5)$$

$$B = \gamma_m \frac{L}{T_m} = \frac{L}{T_m} \left[ 1 - K \frac{T_m}{L} (1 + \gamma_m c) \right],$$

$\ddot{\zeta}''$   $x$  が 1 になると  $\gamma_m \neq 1$  とすれば  $A$  と  $B$  が異なる。

ある船について計算して見ると  $\epsilon = 1$  である。その値は実験的には各節子重力の振動数から求められるであろう。  
今の場合にはその振動角速度  $\omega_0$  は

$$\omega_0 \approx \frac{g}{4} \pi^2 \sqrt{\frac{EIg}{WL^3}}. \quad \text{であるから}$$

$$\epsilon \propto \frac{1}{L} \approx 6.25, \quad \dots \quad (6)$$

となり、 $\epsilon = 1$  とすると  $\alpha$  は非常に大きい値であり、上の  $A$  の係数は大きい負の値をとり、(3) 式の解は振動型となる。(あるいは普通の振動方程式に反する)。今はそのような場合ばかりではなくて、ルの小さい普通船舶の運動を問題にするようなのは長い航行を以下考える事にある。この範囲では  $A$  は大体正値をとる。ルが約 10 より大きくなると  $A$  は負値をとり段々振動方程式に移行して行く事がある。

$$\text{さて解か} \quad Z = h + x\theta + \sum_{n=1}^{\infty} \epsilon^n a_n(x), \quad (7)$$

のようじで導出するとすると

$$Z^{(4)} = \sum_{n=1}^{\infty} \epsilon^n a_n^{(4)}(x), \quad \dots \quad (8)$$

で(8)を(3)に代入して  $\epsilon$  の(4)式で等式が成立つとすると

$$\begin{aligned} a_1^{(4)}(x) &= B e^{ixx} - A(h+x\theta) \\ a_2^{(4)}(x) &= -A a_1(x) \\ a_3^{(4)}(x) &= -A a_2(x) \end{aligned} \quad \left. \right\} (9)$$

を得る。

この式を境界条件(4)の下に解いて  $a_1$  を求まり、この  $a_1$  を(2)式に入れて又(4)の下に解いて  $a_2$  を求まると言ふように逐次近似出来る。

以下これを  $a_2$  の段階まで追つよう。

$$\begin{aligned} f_n(x) &= \int_0^x f_{n-1}(x) dx \\ f_0(x) &= e^{ixx} \end{aligned} \quad \left. \right\} (10)$$

$$f_n(1) = f_n, \quad \dots \quad (11)$$

と記す事とする。 (9) の式 1 式を (4) を参考に入れて逐次積分すれど

$$\left. \begin{aligned} a_1'''(x) &= Bf_1(x) - A\left(\frac{h}{2}x + \frac{x^2}{2}\right) \\ a_1''(x) &= Bf_2(x) - A\left(\frac{h}{2}x^2 + \frac{x^3}{6}\right) \end{aligned} \right\} \quad (12)$$

となるから (4) によつて

$$Bf_1 - A\left(\frac{h}{2} + \frac{x^2}{2}\right) = 0$$

$$Bf_2 - A\left(\frac{h}{2}x + \frac{x^3}{6}\right) = 0$$

とおいて

$$\left. \begin{aligned} h &= \frac{B}{A}(2f_1 - f_2) \\ A &= \frac{B}{A}(-6f_1 + 12f_2) \end{aligned} \right\} \quad \dots \quad (13)$$

となるがこれと (4) の式を参考にした場合の飛行体運動の解である。

(12) を 2 種分して

$$\left. \begin{aligned} a_1'(x) &= Bf_3(x) - A\left(\frac{h}{6}x^3 + \frac{0}{24}x^4\right) + a_1' \\ a_1(x) &= Bf_4(x) - A\left(\frac{h}{4!}x^4 + \frac{0}{5!}x^5\right) + x a_1' + a_1 \end{aligned} \right\} \quad (14)$$

$$\text{但し } a_1' = a_1'(0), \quad a_1 = a_1(0)$$

最後の式を (9) の式 2 式に代入して逐次積分すると

$$\left. \begin{aligned} a_2'''(x) &= -A\left[Bf_5(x) - A\left(\frac{h}{5!}x^5 + \frac{0}{6!}x^6\right) + \frac{x^2}{2}a_1' + x a_1\right], \\ a_2''(x) &= -A\left[Bf_6(x) - A\left(\frac{h}{6!}x^6 + \frac{0}{7!}x^7\right) + \frac{x^3}{3!}a_1' + \frac{x^2}{2}a_1\right], \end{aligned} \right\} \quad (15)$$

(4) の条件によつて

$$Bf_5 - A\left(\frac{h}{5!} + \frac{0}{6!}\right) + a_1' + \frac{a_1}{2} = 0 \quad (16)$$

$$Bf_6 - A\left(\frac{h}{6!} + \frac{0}{7!}\right) + \frac{a_1}{2} + \frac{a_1}{3!} = 0$$

これから

$$a_1 = B(2f_5 - f_6) - \frac{A}{7!}(42h + 90) \quad (17)$$

$$a_1' = B(f_2f_6 - f_5f_5) + \frac{6A}{7!}(28h + 58)$$

を得る (15) 式の常数が決まる。

(13) と (17) を天に代入して解が計算出来た。

今は (油) モーメントの式書き出して見ると

$$\Sigma''(x) = \alpha_1''(x) + \varepsilon \alpha_2''(x), \quad \dots \quad (18)$$

$$\frac{1}{B} \alpha_1''(x) = m_1(x) + i n_1(x)$$

$$= f_2(x) + f_1 x^2 (1-x) - f_2 x^2 (3-2x), \quad (19)$$

$$-\frac{1}{AB} \alpha_2''(x) = m_2(x) + i n_2(x)$$

$$= f_6(x) + f_5(x^2 - x^3) + f_6(2x^3 - 3x^2)$$

$$+ f_1 \left( \frac{x^2}{280} - \frac{13x^3}{2520} + \frac{x^6}{360} - \frac{x^7}{840} \right)$$

$$+ f_2 \left( -\frac{13x^2}{840} + \frac{3x^3}{140} - \frac{x^6}{120} + \frac{x^7}{420} \right), \quad (20)$$

よつて (18) 式は

$$\begin{aligned} \Sigma''(x) &= B [m_1(x) - \varepsilon A m_2(x)] \\ &\quad + i B [n_1(x) - \varepsilon A n_2(x)], \end{aligned} \quad \dots \quad (21)$$

となる。明らかに  $m_1, m_2$  は剛性を有しない時の曲げモーメントで  $m_2, n_2$  は補正項である。

附圖に  $C=1, L_{\text{船}}=20, \varepsilon=1, A=B$  と仮定して運動とモードを計算し結果を示してある。通常型から變なつて普通の角を少し變なつてあるが、この場合 ( $x<10, A>0$ ) では剛性を考えると曲げモーメントは僅かに減少するようであり、この結果は常識的であろう。従つて長波長では質量の考え方で問題はないが、しかし短波長になつて  $A>0$  になつてみると計算の過程から見て速に大きくなつて考えられ、實際庄子の計算 (板バネをつけて不製モデルについて) によると固有振動数の減少ペーコの来る同調曲線が得られ。これは又定性的には実験一致する。従つてこの計算から見れば彈性を考慮に入れた場合は船長が船長より小さい範囲が重要であると予想される。

この別題は  $A=0$ 、つまり浮力と慣性力の釣合う處で、これから慣性力が浮力よりも大きくなる時における問題がある事になる。

附録 簡單な計算例 2. 解析角算<sup>4)</sup>

まづ前節(3)式の解を求める。

$A < 0$  の場合よく知られてるが、こでは  $A > 0$  の場合を書いて見よう。

前節(3)式は次のようになります。

$$Z^{(4)}(z) + Z(z) = 0 \quad , \quad \cdots \quad (1)$$

$z = \pi i$

$$Z = 2\alpha(x - \frac{1}{2})$$

$$2\alpha = (\varepsilon A)^{\frac{1}{4}}$$

$$\cdot \frac{d}{dz} Z = 2 \times \frac{d}{dz} Z$$

$$(1) の 2 年目は \quad Z = e^{-z e^{\frac{\pi i}{4}}} \quad , \quad z = 1, 3, 5, 7, \quad (3)$$

でありますこれを

$$A(z) = \frac{1}{\sqrt{2}} \left( ch \frac{z}{\sqrt{2}} \cos \frac{z}{\sqrt{2}} + sh \frac{z}{\sqrt{2}} \sin \frac{z}{\sqrt{2}} \right)$$

$$B = \frac{1}{\sqrt{2}} \left( ch \frac{z}{\sqrt{2}} \sin \frac{z}{\sqrt{2}} - sh \frac{z}{\sqrt{2}} \cos \frac{z}{\sqrt{2}} \right)$$

$$C = ch \frac{z}{\sqrt{2}} \cos \frac{z}{\sqrt{2}}$$

$$D = sh \frac{z}{\sqrt{2}} \sin \frac{z}{\sqrt{2}}$$

とおこう、容易に次の関係が見出せる。

$$\begin{array}{l} A' = C \\ B' = D \\ C' = -B \\ D' = A \end{array} \quad \begin{array}{l} A'' = -B \\ B'' = A \\ C'' = -D \\ D'' = C \end{array} \quad \begin{array}{l} A''' = -D \\ B''' = C \\ C''' = -A \\ D''' = -B \end{array} \quad \begin{array}{l} A^{(4)} = -A \\ B^{(4)} = -B \\ C^{(4)} = -C \\ D^{(4)} = -D \end{array} \quad (5)$$

又(4)を展開すれば"2次の複素数展開"がえられる。

$$A(z) = \sum_{n=0}^{\infty} \frac{(-)^n z^{4n+1}}{(4n+1)!} = z - \frac{z^5}{5!} + \frac{z^9}{9!} + \cdots$$

$$B(z) = \sum_{n=0}^{\infty} \frac{(-)^n z^{4n+3}}{(4n+3)!} = \frac{z^3}{3!} - \frac{z^7}{7!} + \frac{z^{11}}{11!} + \cdots$$

$$C(z) = \sum_{n=0}^{\infty} \frac{(-)^n z^{4n+1}}{(4n+1)!} = 1 - \frac{z^4}{4!} + \frac{z^8}{8!} + \cdots$$

$$D(z) = \sum_{n=0}^{\infty} \frac{(-)^n z^{4n+2}}{(4n+2)!} = \frac{z^2}{2!} - \frac{z^6}{6!} + \frac{z^{10}}{10!} + \cdots$$

$$\text{今 } \Sigma(z) = aA(z) + bB(z) + cC(z) + dD(z), \quad \cdots (7)$$

の常数を自由端の条件で決めて見よう。

自由端では

$$\left. \begin{aligned} \Sigma''(x) &= e+f = \frac{1}{4x^2} \frac{d^2 \Sigma}{dx^2} \Big|_{x=1} \\ \Sigma''(-x) &= -e+f = \frac{1}{4x^2} \frac{d^2 \Sigma}{dx^2} \Big|_{x=0} \\ \Sigma'''(x) &= g+h = \frac{1}{8x^3} \left(\frac{d}{dx}\right)^3 \Sigma \Big|_{x=1} \\ \Sigma'''(-x) &= g-h = \frac{1}{8x^3} \left(\frac{d}{dx}\right)^3 \Sigma \Big|_{x=0} \end{aligned} \right\} \quad (8)$$

(7)を微分して  $z=\pm x$  における式から

$$\left. \begin{aligned} -aB+bA &= e \\ -cD+dC &= f \\ -aD+bC &= g \\ -cA-dB &= h \end{aligned} \right\} \quad (9)$$

を得る。ここで  $A, B, C, D$  はそれぞれ  $z=x$  における値とする。  
これをといて

$$\left. \begin{aligned} a &= \frac{e-C-gA}{AD-BC} \\ b &= \frac{eD-gB}{AD-BC} \end{aligned} \right\} \quad \left. \begin{aligned} c &= \frac{-fB-hC}{AC+BD} \\ d &= \frac{Af-hD}{AC+BD} \end{aligned} \right\} \quad (10)$$

これらを (9) に代入 (7) を得る。

$$\Sigma(z) = eE(z) + fF(z) + gG(z) + hH(z), \quad (11)$$

$$\left. \begin{aligned} E(z) &= \frac{1}{AD-BC} [DB(z) + CA(z)] \\ F(z) &= \frac{1}{AC+BD} [AD(z) - BC(z)] \\ G(z) &= \frac{1}{AD-BC} [-BB(z) - AA(z)] \\ H(z) &= \frac{1}{AC+BD} [-DD(z) - CC(z)] \end{aligned} \right\} \quad (12)$$

これを <sup>又回</sup> 分数すると どうなるか。

$$\left. \begin{aligned} E''(z) &= \frac{1}{AD-BC} [DA(z) - CB(z)] \\ F''(z) &= \frac{1}{AC+BD} [AC(z) + BD(z)] \\ G''(z) &= \frac{1}{AD-BC} [-BA(z) + AB(z)] \\ H''(z) &= \frac{1}{AC+BD} [-DC(z) + CD(z)] \end{aligned} \right\} \quad (13)$$

これを用ひれば、既報(3)の解は直ちに書け得る。

$$z = \rho e^{i\theta}$$

$$Z(x) + \varepsilon A Z(x) = \varepsilon B e^{ix}$$

の特解は

$$Z_0(x) = f e^{ix}, \quad f = \frac{\varepsilon B}{\varepsilon A + x^k}, \quad \dots \quad (14)$$

次に

$$\left. \begin{aligned} Z_0''(x) &= -f k^2 e^{ix} \\ Z_0'''(x) &= -ik^3 f e^{ix} \end{aligned} \right\}$$

から

$$Z_0''(1) - Z_0''(0) = -fk^2(e^{ix} - 1) = -8x^2 e^{ix}$$

$$Z_0''(1) + Z_0''(0) = -fk^2(e^{ik} + 1) = -8x^2 f.$$

$$Z_0'''(1) + Z_0'''(0) = -ifk^3(e^{ik} + 1) = -16x^3 g$$

$$Z_0'''(1) - Z_0'''(0) = -ifk^3(e^{ik} - 1) = -16x^3 h$$

とすれば次の連立方程を解くべし。

上式を代入。

$$\left. \begin{aligned} e &= \frac{f k^2 (e^{ik} - 1)}{8x^2} \\ f &= \frac{f k^2 (e^{ik} + 1)}{8x^2} \\ g &= \frac{ifk^3 (e^{ik} + 1)}{16x^3} \\ h &= \frac{ifk^3 (e^{ik} - 1)}{16x^3} \end{aligned} \right\} \quad (15)$$

これが(11)の代入すれば、 $Z_1$ が得られる。

$$\begin{aligned}
 \Sigma_1(z) &= \frac{\delta \kappa^2}{8\alpha^2} \left\{ (-1 + \cos \kappa) E(z) + (1 + \cos \kappa) \bar{H}(z) \right\} \\
 &\quad + \frac{\delta \kappa^3}{16\alpha^3} (-\sin \kappa) \left\{ G(z) + H(z) \right\} \\
 &\quad + i \frac{\delta \kappa^2}{8\alpha^2} \sin \kappa \left\{ E(z) + \bar{H}(z) \right\} \\
 &\quad + i \frac{\delta \kappa^3}{16\alpha^3} \left\{ (1 + \cos \kappa) G(z) - (1 - \cos \kappa) H(z) \right\}, \quad (16)
 \end{aligned}$$

解は  $\Sigma(z) = \Sigma_0(z) + \Sigma_1(z)$ , — — (17)

$z''$  で近似される。

U

30

